

УДК 902.2

ГЕОАРХЕОЛОГИЧЕСКОЕ МЕСТОНАХОЖДЕНИЕ ЭПОХИ ПОЗДНЕГО ПАЛЕОЛИТА МАМАКАН VI НА ВИТИМЕ

© А.В. Тетенькин

Статья посвящена исследованиям местонахождения Мамакан VI на Нижнем Витиме. Полученные радиоуглеродные даты противоречивы в оценке возраста, свидетельствуют о голоценовом возрасте развития солифлюксия на данном местонахождении и о захвате и деформации им отложений большого хронологического диапазона, включая раннесартанские седименты. На этом фоне ведущим аргументом в определении культурно-хронологической позиции комплекса артефактов являются морфо-типологический их анализ и корреляция. Главным выводом работ стало определение экзотического облика на фоне всех изученных донеолитических ансамблей Нижнего Витима и оценка вероятного возраста Мамакана VI как более древнего, чем самые ранние датированные комплексы финального плейстоцена. Аналогии микронуклеусам и резцу найдены в памятниках Северной Монголии, юга Байкальской Сибири и Дальнего Востока.

Ил. 9. Табл. 1. Библиогр. 24 назв.

Ключевые слова: верхний палеолит, стратиграфия, микропластинчатое расщепление, Мамакан IV, Нижний Витим.

UPPER PALEOLITHIC GEOARCHAEOLOGICAL SITE MAMAKAN VI ON VITIM RIVER

© A.V. Tetenkin

This article is devoted to study of site Mamakan VI on Lower Vitim River. Obtained radiocarbon data suggest of Holocene age of soliflual process which involved and deformed sediments of large chronological span including the Early Sartan deposits. Hence the main way to definition of cultural-chronological position of the assemblage is to conduct the morpho-typological analysis. General conclusion suggests the exotic oblique of artifacts comparing with other known Pre-Neolithic assemblages of Lower Vitim River and estimates probable age of site Mamakan VI as more earlier than earliest dated assemblages of Final Pleistocene in the region. Some analogies for microcores and burin are found in sites of Northern Mongolia, Southern Baikalian Siberia and Russian Far East.

9 figures. 1 table. 24 sources.

Keywords: Upper Paleolithic, stratigraphy, microblade splitting technology, MamakanVI, Lower Vitim River.

История исследования

В 1986 г. Е.М. Инешиным по подъёмному материалу на левом приустьевом участке р. Мамакан, на территории поселка на 9–12-метровой террасе было выделено местонахождение Мамакан II. Ввиду плотной застроенности поселковой территории обследование местонахождения не проводилось. В 1996 году им были найдены единичные артефакты при осмотре близлежа-

щего карьера 36-метровой высоты относительно уреза воды в р. Витим, находящегося на поселковой окраине в 300 м от р. Мамакан и в 570 м от р. Витим (рис. 1, 2, 3). Карьером в данном пункте вскрываются дельтовые отложения Мамакана. В обнажении карьера и в зачистке в песчаных отложениях верхней части карьера были найдены преформа-заготовка с негативами бифасиальной оббивки, медиальный сегмент

микропластинки шириной 0,4 см и длиной 0,5 см, отщеп. Все предметы из микрокварцита. В 1997 году местонахождение осматривал А.В. Тетенькин. Им была произведена зачистка стенок карьера, в двух уровнях зафиксировано залегание артефактов.

В 2001 г. Е.М. Инешин и А.В. Тетенькин заложили врезку в борту карьера. Артефакты были найдены в пяти уровнях залегания в слоистых песках на глубине до 1,5 м от дневной поверхности. По углю из линзы в песках в культуровмещающей пачке отложений получена дата – 18670±600 л. н. (СОАН-4546).

В 2002 г. в ходе работы над геоморфологической моделью Мамаканского геоархеологического субрайона находки в карьере были выделены в отдельный от Мамакана II, дислоцированного на 9–11-метровой примыкающей террасе, самостоятельный пункт – местонахождение Мамакан VI (Белоусов и др., 2002). Объект расположен на левом приустьевом участке р. Мамакан, левого притока р. Витим, в составе отложений террасовидной формы борта долины (палеodelьты) высотой 36 м от уреза Витима (рис. 2).

В 2010 г. А.В. Тетенькин в шурфоврезке на глубине 1,5 м нашел проксимальный сегмент крупной пластины в косослоистых солюфлюцированных отложениях (рис. 7–20). По углю из стратиграфически перекрывающей ее прослойки получена дата 20900±300 л. н. (СОАН-8263).

В ходе всех предшествующих разведок было установлено, что местонахождение Мамакан VI в значительной степени разрушено карьером, впервые открытым при строительстве Мамаканской ГЭС в 1950-е годы, но действующим и по сей день.

В 2011 году А.В. Тетенькиным и Е.М. Инешиним были произведены раскопочные работы на объекте. По сути, они носили еще разведочный, рекогносцировочный характер. В задачу входило выявление пятна культурных остатков, выяснение стратиграфии залегания культурных остатков, условий тафономии, морфотипологическая характеристика ансамбля. Интерес к нему, важность в контексте проблематики археологии донеолита Нижнего Витима обуславливались представлениями

о Мамакане VI как о древнейшем стратифицированном местонахождении в районе. Была произведена врезка в борт оврага (рис. 3, 4) фронтом в 4 м и шириной от 1,5 до 0 м, примыкающая к шурфу 2010 года. Она дала массовый археологический материал, поэтому вслед за ней, в продолжение, вглубь тела террасы была заложена следующая прирезка шириной в 1 м и фронтом в 4 м. Общая площадь врезки вместе с шурфом 2010 года составила 15 кв. м. Через 1 м вглубь от врезки заложен шурф размерами 3 x 2 м. Культурных остатков в нем выявлено не было.

Геоморфология и стратиграфия

Местонахождение расположено на внешнем фазе древней дельты р. Мамакан, сформированной в позднечетвертичное (каргинское-сартанское) время, на что указывают полученные радиоуглеродные даты, а также гипсометрическое положение в системе геоморфологических тел долины Мамакана (Белоусов и др., 2002).

Отложения дельты фациально разбиваются на галечно-валунную толщу с песчаными прослоями (мощность пачки до 11 м) и пачку полимиктовых горизонтальнослоистых серых мелкозернистых окаربонированных песков (мощность 8,5–10 м). Валунно-галечниковые отложения черепицеобразно сортированы и ориентированы субперпендикулярно течению Витима, что указывает на направление выноса материала из Мамакана в Витим. В петрографическом составе встречаются граниты (преобладают), гнейсы, диабазы, порфириды, а также редко метаморфические сланцы и известняки. Формирование галечно-валунной толщи происходило в условиях, когда верхняя часть основных, питающих Витим, притоков находилась под ледниками. Валунно-галечные отложения дельты залегают на прослое песка (мощностью около 1 м), который лежит, в свою очередь, на скальном ложе долины Витима с отметками 230 метров, что всего на 4 метра выше коренного ложа современного русла. Полимиктовые серые слоистые пески, перекрывающие галечно-валунные отложения, окаربонированы. В галечнике известны находки бивня мамонта, трогонтериевого

слона, короткорогого зубра, благородного оленя (Золотарев, 1982). О времени начала формирования этих отложений можно судить, исходя из радиоуглеродной даты по найденному на глубине 18 метров бивню мамонта – более 48 000 л. н. (ГИН-9066). Для бивня мамонта было установлено, что он помещался в линзе иловатых песков в нижней части галечно-валунных отложений, что способствовало его хорошей сохранности и синеватому налету из кристаллов вивианита. Таким образом, учитывая дату и то обстоятельство, что в кровле полимиктовых криогенно деформированных аллювиальных песков, суглинков, перекрывающих валунно-галечные отложения, зафиксирован в нескольких уровнях один культурный горизонт, мы склонны относить время накопления данных отложений к каргинскому этапу. Каргинский возраст галечно-валунной толщи согласуется с типом самих отложений, маркирующих интенсивные аллювиальные процессы с повышенной обводненностью. Данное обстоятельство подтверждается еще целой серией датированных разрезов в Патомской и Байкальской частях нагорья, в которых с аналогичными датами представлены сходные по литологии и генезису рыхлые осадки (Тищенко, 1982; Золотарев, 1982). Верхняя, песчаная пачка в разрезе относится к началу – середине сартанского оледенения – раннему голоцену, на основании радиоуглеродных дат по углю из прослоек в кровле, между уровнями залегания артефактов 1 к. г. – 20900±300 л. н. (СОАН-8263), 18670±600 л. н. (СОАН-4546), 11770±110 л. н. (ГИН-14596), 7300±400 л. н. (ГИН-14595).

Памятник существенно разрушен карьером, а затем развивающимся оврагом. По нашим оценкам, полученным в ходе работ 2011 г., большая часть культурных остатков уничтожена. Верхняя часть террасы спланирована, покровные отложения позднего голоцена уничтожены. Вторым негативным тафономическим фактором сохранности древней стоянки является развитый солифлюксий, нарушивший инситное залегание материала. В ходе работ установлен перетолженный характер залегания артефактов в составе солифлюцированной пачки от-

ложений. Солифлюкционный снос в направлении тальвега палеоложка захватил верхнюю часть сартанского аллювия, а также голоценовые покровные отложения почвенных горизонтов В и С. Культурные остатки находятся во взвешенном состоянии в составе культуровмещающей пачки отложений. Разброс их по вертикали 82 см, разница глубин залегания двух апплицированных артефактов – 21 см, разнос по горизонтали – около 2,4 м. Костные остатки в составе культуровмещающей пачки отложений отсутствуют.

Стратиграфия приводится по продольной северной стенке (линия С–D) (рис. 4, 5).

Смятый характер слоистости, растащенность прослоек, нарушения нормального характера залегания слоев определены нами как результат действия солифлюкционных процессов, деструктивно воздействовавших на верхнюю часть рыхлых отложений данного террасовидного тела. Судя по тому, что деформированными оказались и верхние покровные отложения почвенного горизонта В – красно-бурые и красно-желтые суглинки, солифлюкционный процесс имел довольно поздний возраст. Наиболее поздняя полученная дата указывает, как минимум на возраст около 7–8 тыс. л. н. Культурные остатки (1 культурный горизонт) зафиксированы в слоях 7–12.

Планиграфическая ситуация характеризует состояние перемещенности материала, никаких конструктивных деталей не сохранилось (рис. 6). В восточной, внешней к борту карьера части прирезки, выявлено темно бурое пятно ломаной конфигурации с обильным включением остатков древесного угля. К нему приурочено пять крупных плитчатых обломков. Примечательно, что все они залегали с субгоризонтальным положением верхних плоскостей. Первоначальное предположение, что мы имеем дело с очагом, пришлось отставить, поскольку в пределах этой линзы не было найдено ни одного артефакта, а сама она оказалась значительно большей мощности – до 24 см.

Коллекция

Всего в коллекции 299 единиц. В том числе 2 нуклеуса, 4 скребка, в том числе 2

Стратиграфический разрез местонахождения Мамакан VI

№	О т л о ж е н и я	Мощность, м
1.	Дерново-почвенный горизонт	0,04–0,08
2.	Светло-серый песок техногенный	0,04–0,10
3.	Погребенный дерново-почвенный горизонт	0,04–0,08
4.	Техногенный наброс песков, супесей, суглинков	0,60–0,70
5.	Погребенный почвенный горизонт углефицированный	0,02–0,05
6.	Подзол	0,01–0,08
7.	Суглинок красно-оранжево-бурый легкий, смятый, солифлюцированный (?)	0,04–0,28
8.	Песок светло-желтый, на контактах ожелезненный, тонкозернистый, солифлюцированный	0,02–0,25
9.	Суглинок легкий темно-бурый, криогенно деформированный. По частицам угля из слоя получена дата – 7300±400 л. н. (ГИН-14595)	0,01–0,06
10.	Линза суглинка легкого темно-бурого, пирогенно-прокаленного, с обильными включениями древесного угля, с обломками плитчатых отдельностей	0,025–0,40
11.	Суглинок легкий, сизый, оглеенный, солифлюцированный. Из угленасыщенных прослоек в нижней части слоя получены даты 20900±300 л. н. (СОАН-8263), 18670±600 л. н. (СОАН-4546)	0,02–0,35
12.	Суглинок тяжелый комковатый темно-коричневый с включениями древесного угля, по которому получена дата 11770±110 л. н. (ГИН-14596)	0,01–0,04
13.	Пески сизые, желтые, смятослоистые	0,05–0,18
14.	Пески ритмичнослоистые, тонкие прослои – сизые, заполнение – серо-желтый песок среднезернистый с дресвой и мелкой галькой	0,25 м и более

скребка из горного хрусталя, 1 резец, 1 отщеп с ретушью, 1 оббитый кристалл горного хрусталя. Материалом для всех продуктов литопроизводства послужил порфирит (95%), роговик (0,3%), кварц (горный хрусталь) (4%), дымчатый кварц (раухтопаз) (0,7%).

Первый из найденных микронуклеусов (№ 122; рис. 7.2) имеет исключительно мелкие размеры: длина – 2,1 см, ширина у площадки – 1,4 см, высота фронта – 1,5 см. Нуклеус торцовый – клиновидный. Площадка несет негативы одного длинного фронтального скола, покрывающего всю длину, одного фронтального скола среднего размера, четырех мелких заломистых скольчиков также с фронта. Кроме того, один короткий, широкий скол, занимающий почти всю длину площадки, нанесен с латерали.

Одна из латералей оформлена тщательно. Негативы встречного направления, со стороны кия и площадки, покрывают ее

полностью. Вдоль собственно кия идет мелкая ретушь. Ребра ее негативов заметно залощены.

Вторая латераль представляет собою выпуклую вентральную поверхность отщеп-преформы, подправленную лишь со стороны кия несколькими широкими и короткими заломистыми сколами, также залощенными.

Фронт имеет подтреугольную форму. Он несет негативы веерообразно сходящихся от проксимального конца к дистальному пяти микропластинчатых снятий. Максимальная ширина снятий – 0,4 см, максимальная измеренная длина – 1,9 см. В общем, исходя из наблюдений тщательности и намеренности оформления одной из латералей, площадки, сработанности фронта, мы можем заключить, что этот крайне малый микронуклеус является намеренно выработанной формой. Судя по нижеприведенным артефактам с микроснятиями, он не является и остаточным продуктом на по-

следнем цикле микропластинчатого расщепления, имевшего прежде большие параметры.

Второй микронуклеус (№ 129; рис. 7.5) имеет вытянутые пропорции: длина – 3,3 см, ширина – 1,1 см, высота – 1,8 см, высота фронта – 1,2 см. Киль обработан ретушью бифасиальной, нерегулярной, не слишком тщательно. Гребень-контрфронт имеет форму головки скребка, негативы ретуши залощены. Площадка первоначально оформлялась поперечными сколами с латерали, в финале – тремя длинными сколами с фронта. Фронт имеет большой залом, о который пресеклись два микропластинчатых снятия. Ширина снятий – 1,5–3 мм, максимальная длина – 1,3 см.

Следующий артефакт с микроснятиями – срединный многофасеточный резец (№ 87; рис. 7.4). Изготовлен из широкого, короткого отщипа светло-зеленого порфирифта. Один продольный край оформлен тщательной притупляющей скребковой ретушью. Ребра-края негативов залощены. Край резца у рабочей головки заведен ретушью к оси предмета таким образом, что артефакт имеет форму срединного резца. По противоположному продольному краю с рабочего угла нанесены два продольных микропластинчатых резцовых снятия длиной 8 и 12 мм и шириной 3,5–4 мм. Противоположный конец имеет шиповидный выступ. Край его несут следы мелкой амортизационной ретуши, возникшей, предположительно, в результате использования шипа как сверла.

Четвертый артефакт с микроснятием – микроскребок округло-ногтевидной формы черной кремнистой (роговик) породы диаметром 1,4 см (№ 57; рис. 7.1). По одной из выпуклых сторон нанесен микропластинчатый резцовый скол.

Еще один скребок – концевой на крупной двухгранной пластине. Ретушь занимает дистальный конец и сопряженный с ним участок левого продольного края, в силу чего контур лезвия скошен влево (№ 108; рис. 7.7). Длина – 3,6 см, ширина – 2,2 см, толщина – 0,9 см. Рудимент ударной площадки – галечный.

Два медиальных сегмента пластин (№ 113, 27; рис. 7.8, 9) имеют практически идентичные параметры длины – 4,0–4,2 см, ширины – 2,0 см, толщины – 0,4 см. Они апплицируются – состыковываются в одну пластину длиной 8,1 см. Проксимальный и дистальный концы в обоих случаях одинаково обломаны. Один из сегментов несет следы краевой амортизационной ретуши по обоим продольным краям. Один из краев пластины выпуклый, другой имеет естественную выемку.

Отщеп с ретушью (скребок?) является орудием с обломанным рабочим концом (№ 64; рис. 7.19). На вентральном фазе у облома сохранилась скребковая краевая ретушь длиной 1,0 см. Сагиттальная и продольная линии отщипа не совпадают.

Одним из компонентов коллекции являются артефакты из горного хрусталя – 10 ед. Из них 2 скребка, 1 оббитый кристалл, 7 отщипов.

Один скребок из горного хрусталя – комбинированный, многолезвийный (№ 154; рис. 7.3). Он имеет асимметричную каплевидную форму. Два основных лезвия – боковые, оформлены тщательной ретушью. По узкому краю с одной грани бокового лезвия на ребро противоположного бокового лезвия поперек продольной оси произведено несколько заломистых микропластинчатых снятий таким образом, что артефакт имеет вид клиновидного микронуклеуса. Обращает внимание практически полное совпадение контуров и размеров его с одним из двух вышеописанных микронуклеусов (рис. 7.5). Собственно негативы снятий крайне малы и заломисты, вероятнее всего, таким образом, было оформлено еще одно скребковое лезвие. Более широкий, противоположный конец скребка имеет мелкие негативы, но не по фазу, а арьерфазу, свидетельствующие о какой-то иной кинематике действий этим рабочим концом.

Второй скребок изготовлен из оббитого кристалла дымчатого хрусталя (раухтопаз) (№ 100; рис. 7.6). Как и предыдущий скребок, он имеет в сечении трехгранный профиль. Негативы ретуши, как и в предыдущем случае, имеют продольные края.

МАМАКАНСКИЙ ГЕОАРХЕОЛОГИЧЕСКИЙ СУБРАЙОН

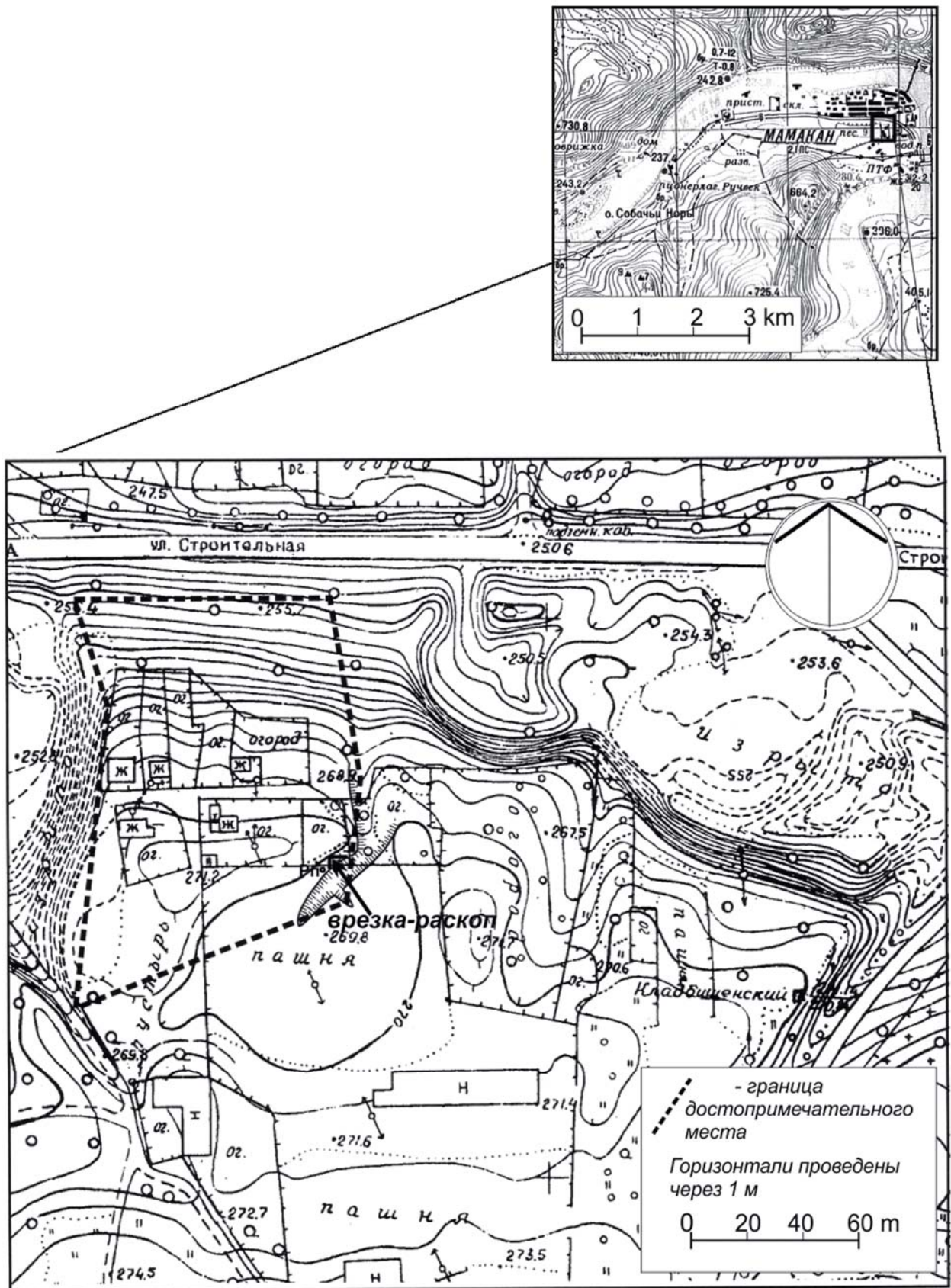


Рис. 1. Карта-схема геоархеологического местонахождения Мамакан VI (за основу взята выкопировка из генплана пос. Мамакан на 1984 г.)

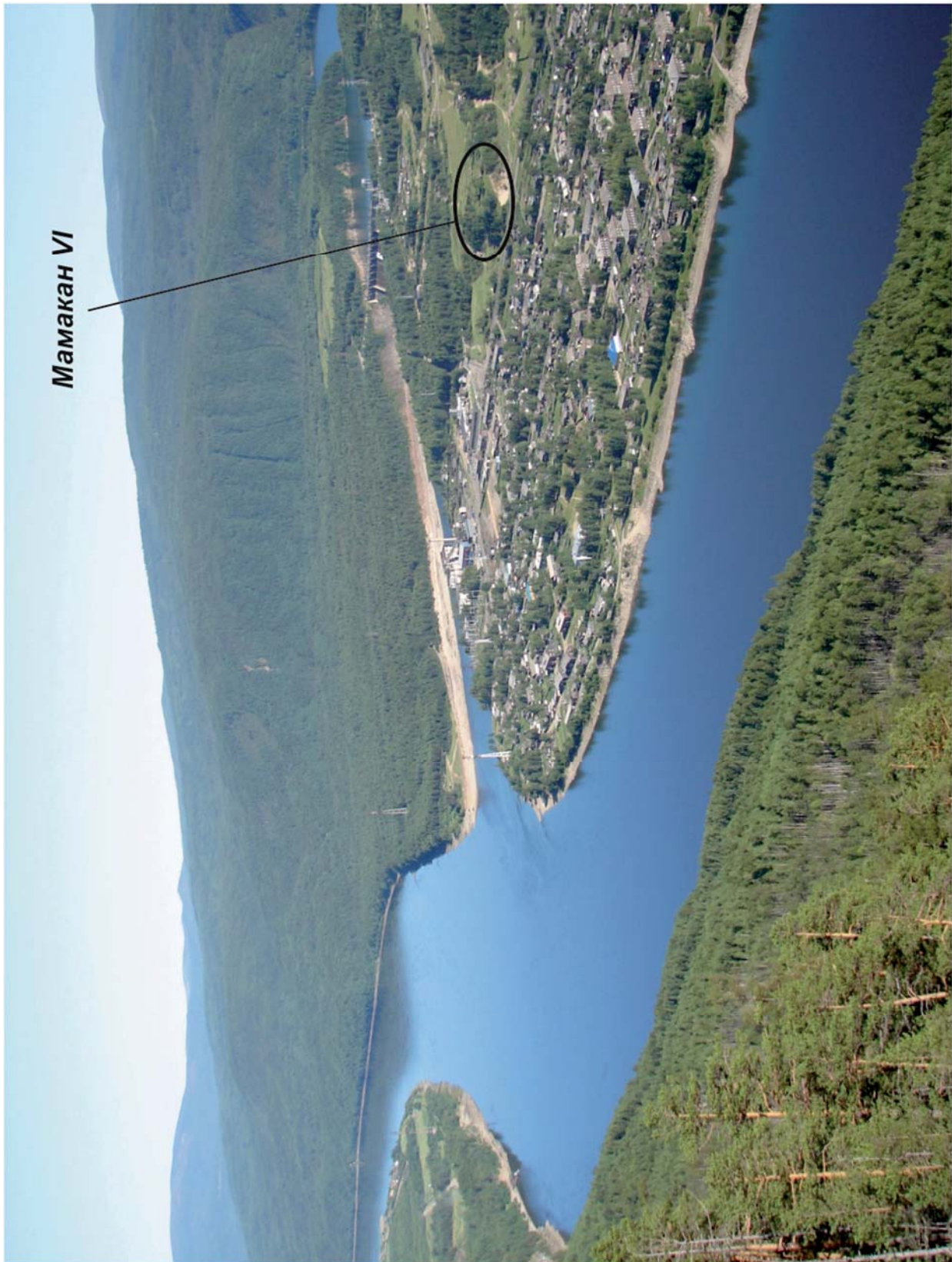


Рис. 2. Общий вид на устье р. Мамакан, пос. Мамакан и местонахождение Мамакан VI. Вид с северо-запада



Рис. 3. Местонахождение Мамакан VI. Общий вид с ЮВ



Рис. 4. Местонахождение Мамакан VI. Вид на стенку 1 раскопа (профиль А–В). Вид с Ю

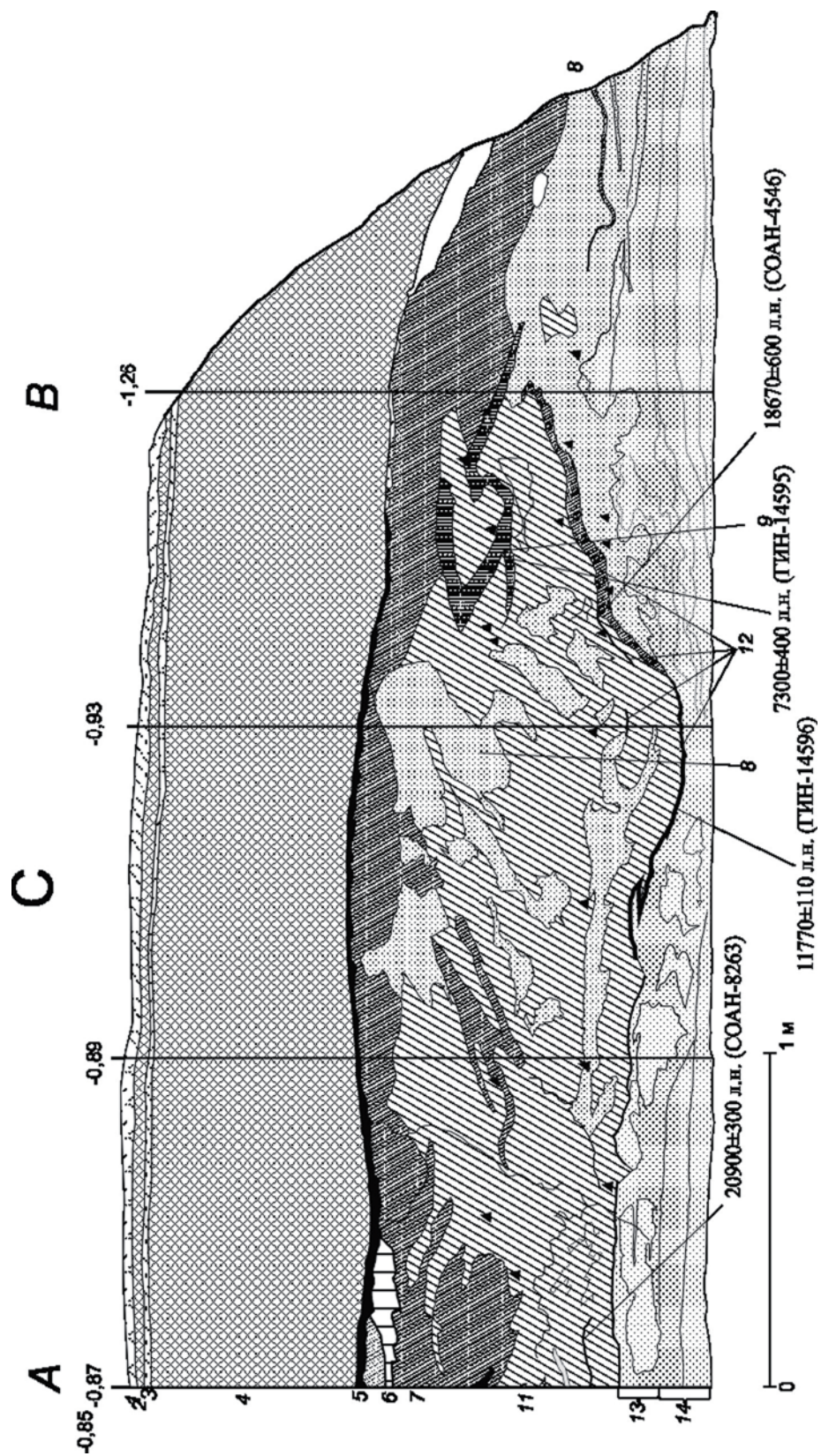


Рис. 5. Местонахождение Мамакан VI. Стратиграфия раскопа I. Профиль А–В

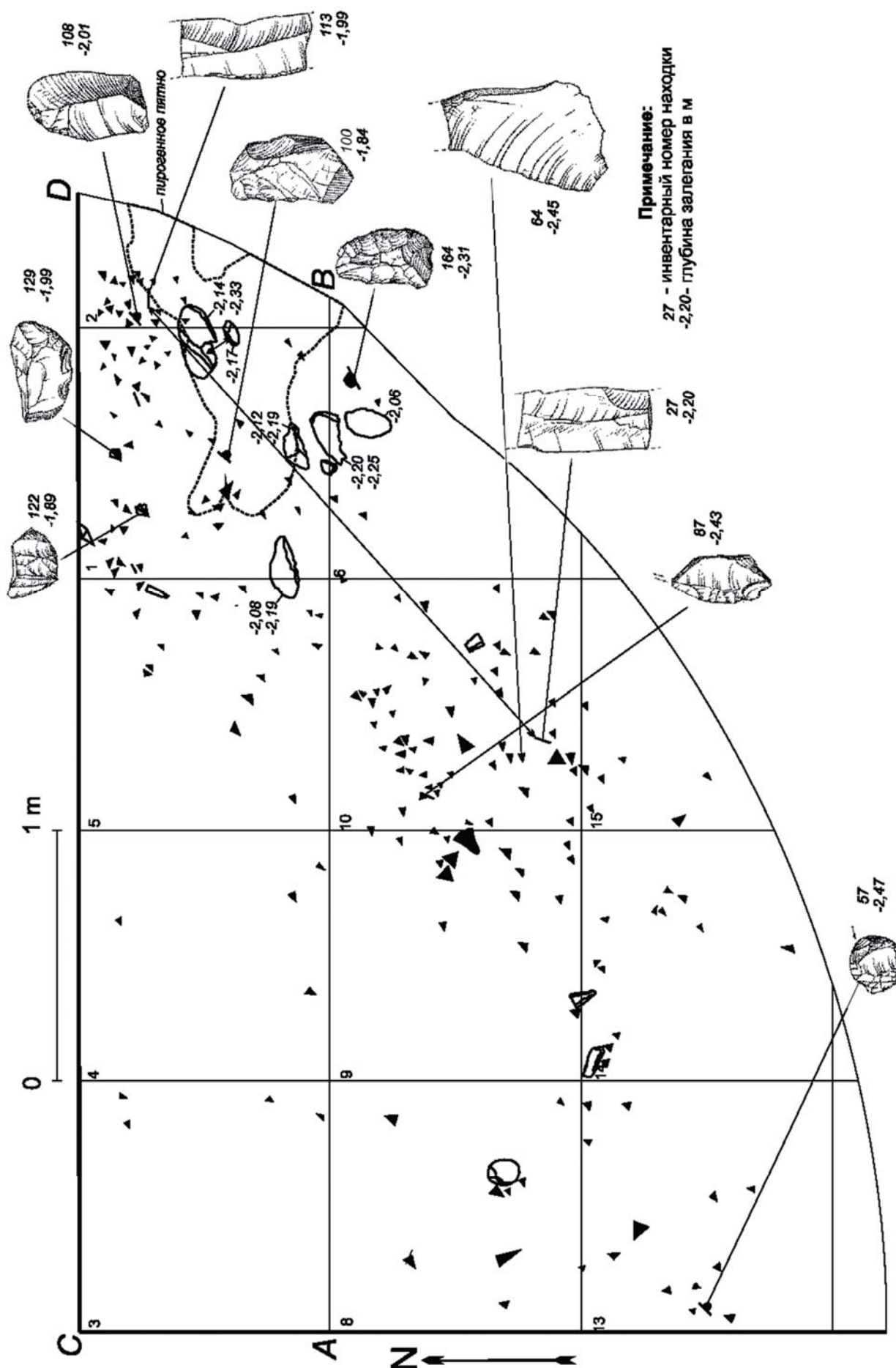


Рис. 6. Планиграфия I культурного горизонта местонахождения Мамакан VI

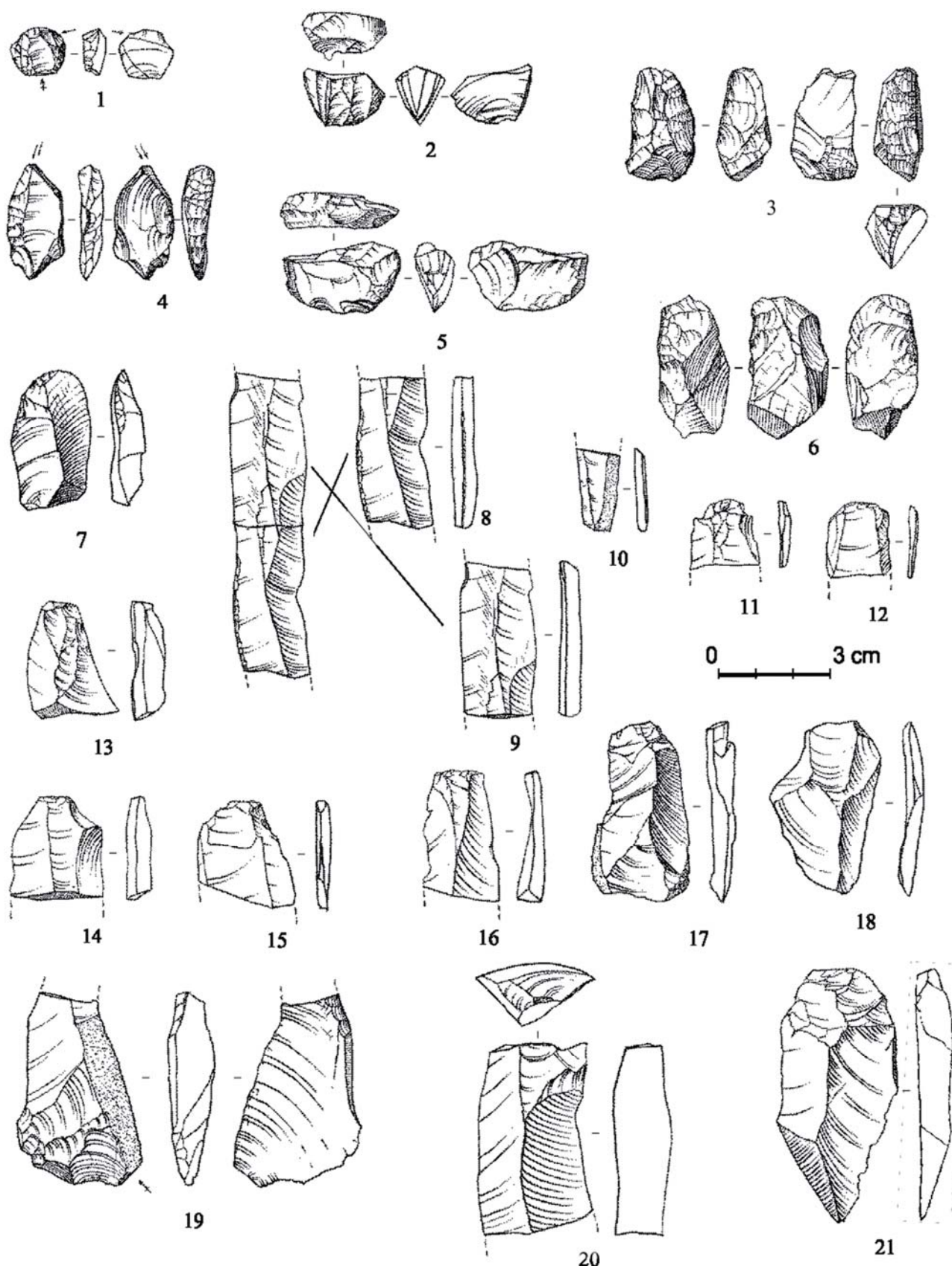


Рис. 7. Местонахождение Мамакан VI. Изделия из I культурного горизонта: 1 – микроскребок-трансверсальный резец; 2, 5 – микронуклеусы; 3, 6, 7 – скребки; 4 – срединный резец; 8 – медиальный сегмент пластины с ретушью; 9 – медиальный сегмент пластины; 10 – дистальный сегмент пластины; 11, 12, 14, 15, 16, 20 – проксимальные сегменты пластин; 13, 17, 18, 21 – пластины; 19 – фрагмент отщипа с краевой ретушью; 3, 6, 13 – изделия из горного хрусталя

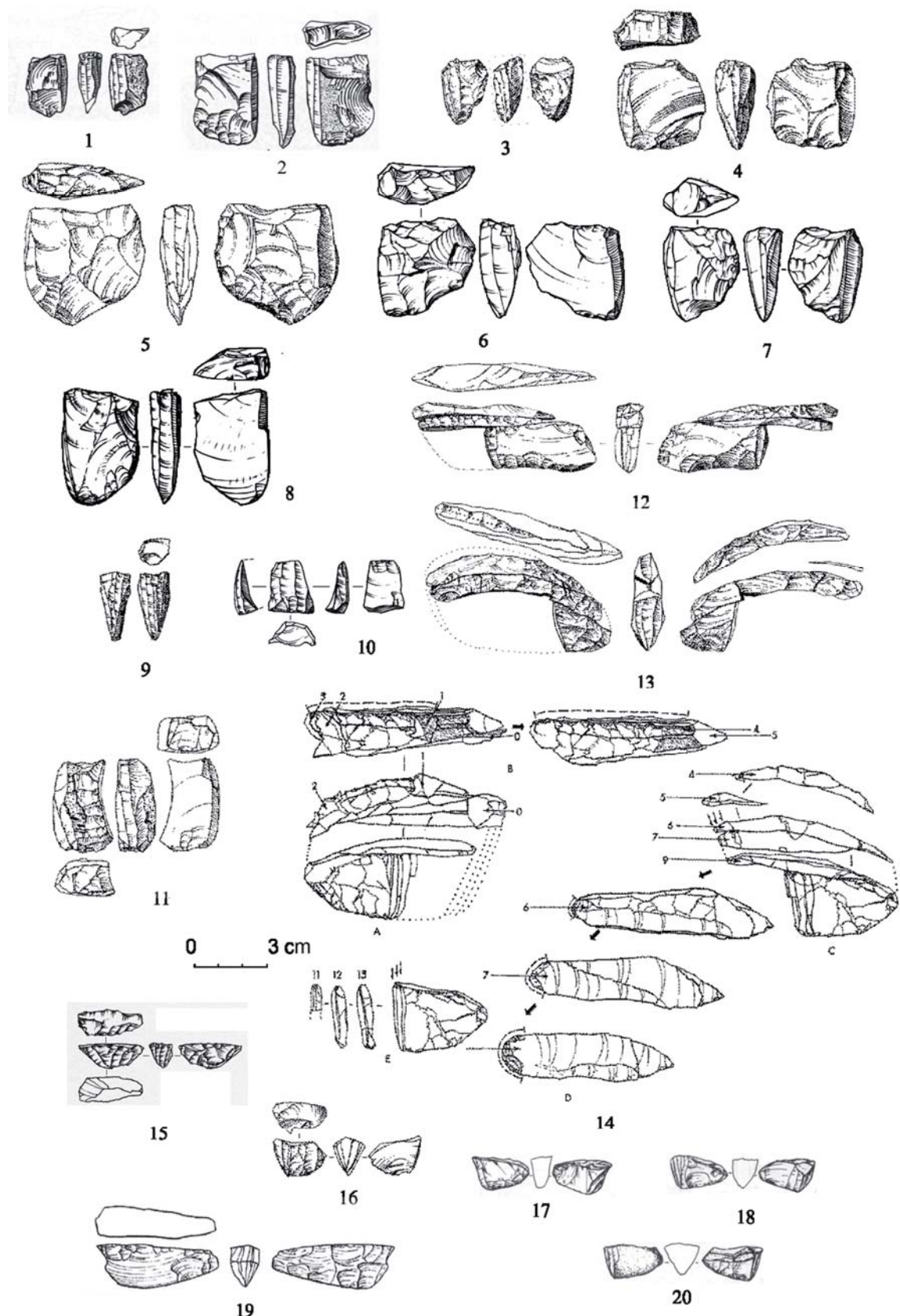


Рис. 8. Микронуклеусы: 1, 2 – Авдеиха (по: Мочанов, Федосеева, 1996); 3, 4, 5 – Коврижка III, культ. гор. 2; 6 – Коврижка II, культ. гор. 1; 7 – Коврижка II, культ. гор. 2; 8 – Коврижка II, культ. гор. 3; 9, 11 – Инвалидный III, пункт 2; 10 – Коврижка III, культ. гор. 1А; 12, 13, 14 – Большой Якорь I, культ. гор. 8, 4Б, 3 (по: Инешин, Тетенькин, 2010); 15 – Туяна (по: Козырев и др., 2012); 16 – Мамакан VI; 17, 18 – Усть-Менза-2, культ. гор. 20 (по: Константинов, 1994); 19 – Толбор-15, культ. гор. 5 (Gladyshev, Tabarev, Olsen, 2010); 20 – Усть-Менза-2, культ. гор. 19 (по: Константинов, 1994)



Рис. 9. Местонахождение Мамакан VI. Сланцевые предметы

В ходе разборки культуросодержащей толщи были найдены четыре сланцевые плитки остроконечной формы (рис. 9). Они лежали в непосредственном соприкосновении с отщепами и сколами. Общей особенностью этих сланцевых предметов являются длинные продольные края, конвергентно сходящиеся и имеющие грань – фаску шириною 4–8 мм. На трех плитках оба края имеют фаску по одному фасу, на одной плитке – по антитезе. Три предмета имеют остроконечную точку схождения краев с фаской, у одной плитки этот край обломан. Размеры плиток 10,0 x 4,1 см, 9,3 x 5,1 см, 3,9 x 1,8 см. Толщина – 7–9 мм. Сходная для всех четырех находок форма конвергенции длинных краев с фаской – гранью и обнаружение в контексте с дебитажем позволяют видеть в них вещи, намеренно подобранные человеком, принесенные и использованные в какой-то функции, возможно, пилки или ножа (?). На двух из них фаска рабочего края шлифована (два предмета слева на рис. 9). В донеолитической археологии Витима подобные предметы встречены впервые.

Выводы

Нарушенный, переотложенный характер залегания культурных остатков делает

проблематичной задачу датирования комплекса методами естественных наук. Радиоуглеродные даты получены из образцов древесного угля из растущих солифлюксем линз с различных уровней залегания. Наиболее ранняя дата – 20 900 л. н., наиболее поздняя – 7300 л. н. Напрямую определить время существования ископаемой культуры на основе этих дат мы не можем. Даты свидетельствуют о позднем, голоценовом возрасте развития солифлюксия на данном местонахождении и о захвате и деформации им отложений большого хронологического диапазона, включая раннесартанские седименты.

В этой ситуации аргументами относительного датирования выступают морфология артефактов и гипсометрия местонахождения. Остановимся сначала на последней. Исходя из общих представлений о формировании лестницы аллювиальных террас и локальной модели динамики развития рельефа долины Витима в пределах Мамаканского геoarхеологического района, в системе аллювиальных тел более высокие мы рассматриваем как более древние. В соответствии с динамикой развития долины более молодые стоянки, особенно в случае вмещения в аллювиальные пойменные отложения, связаны с более низкими терра-

сами. На Нижнем Витиме объекты финально-носартанского возраста дислоцированы на отметках 22 м – Коврижка III, Авдеиха, 17–18 м – Коврижка II, 13–14 м – Большой Якорь I (Белоусов и др., 2002; Инешин, Тетенькин, 2010). Наиболее близкую гипсометрическую отметку – 33 метра – занимают находки шурфа 4 на Коврижке III. Они не датированы, залегают в совершенно иной ситуации маломощных склоновых отложений, покрывающих цоколь (Тетенькин, 2010). Местонахождение Мамакан VI (36 м) – известно как самое высокое на сегодняшний день на Нижнем Витиме.

Обратимся теперь к морфологии артефактов. Она охарактеризована по двум позициям: 1) микроорудия и микрорасщепление; 2) макропластинчатая индустрия.

В первой части, поразительны, прежде всего, микронуклеусы с высотой фронта до 1,5 см. Параметры микроснятий исключительно малы, что позволяет усомниться в возможности утилитарного применения микропластинок в качестве вкладышей-лезвий. Найденный срединный многофасеточный резец имеет негативы резцовых снятий 12 x 4 мм, вполне сопоставимые с негативами с фронтов найденных микронуклеусов (рис. 7.2, 4, 5), наталкивая на мысль о резцовом происхождении техники отжима в производстве микропластин с торцовых нуклеусов. Интересен и резцовый трансверсальный скол на ногтевидном микроскребке (рис. 7.1). Диаметр скребка 1,4 см делает сложной саму задачу фиксации (в руке, рукояти?) для производства резцового скола.

Следует обратить внимание и на совпадение форм одного из микронуклеусов и скребка из горного хрусталя (рис. 7.3, 5). Один из ретушированных рабочих краев последнего имеет торцово-клиновидную позицию, весьма сходную в параметрах с фронтом микронуклеуса. Как минимум, это должно свидетельствовать о принадлежности обоих к одному культурному комплексу при зафиксированной разнице глубины залегания в 32 см (рис. 6); как максимум, о многоцелевом использовании выработанной формы, технического приема. В частности, мы полагаем, что имеем свидетельства применения торцового микропластин-

чатого снятия в производстве микронуклеуса, резца, скребка. На наш взгляд, такое отсутствие специализации в производстве микропластинчатого снятия является признаком начальной стадии зарождения навыков-традиций этой техники.

Макрорасщепление, судя по правильной пластине длиной 8 см, апплицированной из двух обломков (и отсутствуют при этом ее проксимальный и дистальный сегменты), концевому скребку на пластине, крупному сегменту пластины (рис. 7.8, 9), ориентировано на производство пластин. Одним из приемов форматирования заготовки являлся облом проксимального и дистального концов. Тот факт, что длинная 8-сантиметровая пластина (без учета длины удаленных ее концов) была переломлена ровно посередине и обе половинки-сегмента имеют равную длину, позволяет предположить и намеренный характер сегментации пластин под какой-то определенный стандарт. Нуклеусов не найдено. Отмечены несколько проксимальных и дистальных сегментов. Основная масса дебри-тажа представлена аморфными отщепами и сколами, производя впечатление экстенсивного низкопродуктивного галечного расщепления.

Обратимся теперь к известным на Нижнем Витиме ансамблям финального плейстоцена – раннего голоцена. Ведущим показателем развития археологически выраженной культуры позднего палеолита – неолита является микрорасщепление. Последнее как процесс отмечено этапами возникновения приема микропластинчатого терминального снятия, становления техник подготовки преформ, ротации, модификации торцово-клиновидного нуклеуса, перехода на призматическое микропластинчатое расщепление. Наиболее ранние микропластинчатые ансамбли Авдеиха (15–12 тыс. л. н.) (рис. 8.1, 2), Большой Якорь I (12,7–11,7 тыс. л. н.) (рис. 8.12, 13, 14) имеют уже развитые, сложившиеся системы подготовки преформы – снятия микропластин – модификации нуклеуса.

На Большом Якорь I, в частности, изучена технология редуцирования бифаса продольным краевым и лыжевидными сколами и последующего терминального мик-

ропластинчатого расщепления, известная в палеолитоведении Северо-Восточной Азии как техника «юбецу» (рис. 8.14) (Васильевский, Лавров, Чан Су Бу, 1982; Инешин, Тетенькин, 2010). В 7 культурном горизонте найдены два лыжевидных скола с негативами торцовых микропластинчатых снятий. Высота их фронта 1 и 1,4 см (Инешин, Тетенькин, 2010, рис. 6.12). Это единственный, самый близкий коррелят по высоте фронта микронуклеусам Мамакана VI, но в целом нуклеусы из лыжевидных сколов, конечно, специфичны и больше на Нижнем Витиме не встречены.

На финальноплейстоценовых стоянках Авдеиха, Коврижка III (2–3 культурные горизонты) клиновидные нуклеусы изготовлены из бифасов, либо из сколов (рис. 8.1, 2, 3, 4, 5) (Тетенькин, 2010; Инешин, Тетенькин, 2010). Общим их признаком, отличающим от большинства нуклеусов 3А–9 культурных горизонтов Большого Якоря I, является подготовка ударной площадки несколькими короткими латеральными и фронтальными сколами. Традиция изготовления подобных нуклеусов прослежена и в раннем голоцене по материалам местонахождений Коврижка II, IV (рис. 8.6, 7, 8). В составе культурных остатков Коврижки III найдены и самые ранние призматические микропластинчатые нуклеусы (11,0–11,4 тыс. л. н.).

В раннеголоценовых ансамблях типа Большой Северной (Инвалидный III, пункты 2–3, Коврижка III, 1А к. г. и др.), имеющих ярко выраженный микропластинчатый облик, доминируют призматические микронуклеусы (рис. 8.9, 10, 11) (Инешин, Тетенькин, 2005; 2010; Тетенькин, 2011).

В целом же следует констатировать, что микронуклеусы Мамакана VI не имеют себе подобных аналогов среди нуклеусов ансамблей финального плейстоцена – голоцена Нижнего Витима. Их отличает, во-первых, исключительно малая высота фронта и длина микропластинчатых снятий, во-вторых, отчетливо выраженный вытянутый характер соотношения длины нуклеуса к его высоте, в-третьих, отсутствие устоявшейся, стандартно выработанной, как мы видим в материалах всех известных нам ансамблей района, формы клиновидно-

го нуклеуса. Не находят аналогов микронуклеусы Мамакана VI и среди материалов других донеолитических комплексов севера Байкальской Сибири, прежде всего, Усть-Каренги I–XVI 7 и 8 культурных горизонтов (Ветров, 1995; 2010) и Курлы II–III 2 и 3 культурных горизонтов (Шмыгун, 1978; 1981; Шмыгун, Ендрихинский, 1978). Индустрию 3 культурного горизонта Курлы II–III характеризуют именно микронуклеусы экстремально малых размеров. Однако их производство базируется на принципиально иной технике – продольном расщеплении бифаса, снятии лыжевидных сколов для подготовки ударной площадки, известной как техника «юбецу».

Резцы вышеупомянутых памятников Нижнего Витима также отличаются от найденного срединного резца Мамакана VI. Резцы Большого Якоря I, главным образом, трансверсальные. Известны трансверсальные диагональные резцы и во 2 к. г. Коврижки III. Для Авдеихи, Коврижки II характерны угловые резцы на отщепах случайных форм. Кроме того, в финале плейстоцена – раннем голоцене распространены были многофасеточные резцы из осколков горного хрусталя (2, 1А и 1 к. г. Коврижки III, 6 к. г. Коврижки IV).

Аналогии микронуклеусам были найдены нами в местонахождениях более древних, расположенных южнее. В недавно открытом и опубликованном А.С. Козыревым и соавторами местонахождении Туяна в Тункинской долине имеется клиновидный микронуклеус с аналогичными признаками (рис. 8.15): 1) вытянутая подтреугольная ладьевидная преформа; 2) короткий фронт с негативами микропластинчатых снятий длиной около 1 см (Козырев и др., 2012). Авторы исследований Туяны датируют по ^{14}C AMS-дате по кости из культуровмещающего слоя 35900 ± 750 л. н. (ОхА-25896). Подобный же нуклеус найден С.А. Гладышевым, А.В. Табаревым и Дж. Олсеном в 5 культурном горизонте местонахождения Толбор-15 в Северной Монголии (рис. 8.19) (Gladyshev et al., 2010). По фрагменту яичной скорлупы страуса из этого слоя есть дата 28460 ± 310 л. н. (АА-84137). Подобные микронуклеусам Мамакана VI артефакты были найдены в Забай-

калье на стоянках Усть-Менза-2, горизонт 19, 20 (рис. 8.17, 18) (Константинов, 1994, с. 105, рис. 73) с датировками около 17,0 тыс. л. н.

Неожиданно близкие морфологические аналогии микронуклеусам и резцу удалось найти в Приморье, в коллекции верхнепалеолитической стоянки Суворово III (раскопки А.А. Крупяно). В ее материалах имеются, во-первых, серия аналогичных срединных многофасеточных резцов с притупленными крутой краевой ретушью одним или двумя продольными краями тела, во-вторых, микронуклеусы идентичных размеров и пропорций. Р.С. Васильевский датирует основной комплекс Суворово III возрастом около 13–15 тыс. л. н. (Васильевский, Гладышев, 1990), Н.А. Кононенко относит ко времени 12–11,5 тыс. л. н. (Кононенко, 2005), А.А. Крупяно, А.В. Табарев предлагают для него возраст около 19 тыс. л. н. (Крупяно, Табарев, 2011).

Макрорасщепление всех известных комплексов финала плейстоцена – Авдеихи, Большого Якоря I, Коврижки III – имело целью производство отщепов как основной орудийной преформы (Инешин, Тетенькин, 2010; Тетенькин, 2010). Стандартной целью галечного нуклеарного расщепления раннеголоценовых комплексов 3, 4, 4А к. г. Коврижки II (около 8,2–8,1 тыс. л. н.) также являлся удлиненный отщеп. Лишь в раскопках 2012 года 2 культурный горизонт Коврижки III доставил первые очевидные свидетельства технологии производства макропластин длиной до 11 см (Тетенькин, 2014). Макропластинчатое расщепление Мамакана VI ассоциируется, скорее с пластинчатыми ансамблями ранней – средней поры верхнего палеолита (в частности, с комплексами Макарово IV, Игетейского Лога I, Арембовского в Южном Прибайкалье) (Аксёнов, 2009; Стратиграфия, ..., 1990).

Таким образом, морфотипологический анализ коллекции 1 к. г. Мамакана VI характеризует ее как экзотичную и, по нашему мнению, более архаичную относительно известных финальнопалеолитических ансамблей Нижнего Витима. Беря за основу наиболее надежно датированный Большой Якорь I, мы полагаем вероятный

возраст Мамакана VI древнее 12,7 тыс. л. н. Нижний предел допустимого хронологического интервала может быть связан с наиболее ранней датой 20,9 тыс. л. н., отмечающей возраст вовлеченных в солифлюкционный процесс отложений. Не противоречит этому выводу и наиболее высокое гипсометрическое положение комплекса среди всех известных местонахождений на Нижнем Витиме.

Вероятный вопрос о смешанности разновременных, позднего и раннего компонентов может быть парирован доводами, что микроформы встречены как в низах, так и в верхах культуросодержащей пачки отложений, и петрографически комплекс однороден, признаков индустрий рубежа плейстоцена – раннего голоцена не обнаружено, а аналоги микроизделиям Мамакана VI в последних отсутствуют.

Заключение

В результате проведенных исследований 2011 года были добыты сведения о стратиграфии, тафономии, морфотипологии археологических материалов местонахождения Мамакан VI на Нижнем Витиме. Полученные радиоуглеродные даты противоречивы в оценке возраста, свидетельствуют о голоценовом времени развития, солифлюксии на данном местонахождении и о захвате и деформации им отложений большого хронологического диапазона, включая раннесартанские седименты. На этом фоне ведущим аргументом в определении культурно-хронологической позиции комплекса артефактов являются морфотипологический их анализ и корреляция. Главным выводом работ стало определение экзотического облика на фоне всех изученных донеолитических ансамблей Нижнего Витима и оценка вероятного возраста Мамакана VI как более древнего, чем самые ранние датированные комплексы финального плейстоцена. Аналогии микронуклеусам и резцу найдены в памятниках Северной Монголии, юга Байкальской Сибири и Дальнего Востока. Вопрос о стоящих за аналогиями возможных культурных процессах в Центральной, Восточной Сибири, на Дальнем Востоке возраста первой половины сартана и ранее на имеющемся уров-

не исследований может быть лишь обозначен. В задаче характеристики Мамакана VI эти аналогии привлечены в качестве аргументов в пользу относительно древнего возраста последнего.

Благодарности

Автор выражает благодарность А.А. Крупянку (Дальневосточный федеральный университет, г. Владивосток) за возможность познакомиться с коллекциями Суворово III, А.С. Козыреву (Институт Земной Кору СО РАН, г. Иркутск) за воз-

можность ознакомиться с материалом местонахождения Туяна, И.И. Разгильдеевой (Забайкальский государственный гуманитарно-педагогический университет, г. Чита), В.М. Ветрову (Педагогический институт Иркутского госуниверситета) и П.Е. Шмыгуну (Иркутский госуниверситет) за помощь в обсуждении материала и консультации по палеолитическим коллекциям Байкальской Сибири.

Статья поступила 14.11.2014 г.

Библиографический список

1. Аксёнов М.П. Палеолит и мезолит Верхней Лены. Иркутск : Изд-во ИрГТУ, 2009. 370 с.
2. Белоусов В.М., Инешин Е.М., Сулержицкий Л.Д., Тетенькин А.В. Модель формирования рельефа Мамаканского геоархеологического субрайона // Археологическое наследие Байкальской Сибири: изучение, охрана и использование. Иркутск, 2002. Вып. 2. С. 21–42.
3. Васильевский Р.С., Гладышев С.А. Стратиграфия и хронология стоянки Устиновка I в Приморье // Хроностратиграфия палеолита Северной, Центральной и Восточной Азии и Америки. Новосибирск, 1987. С. 85–89.
4. Васильевский Р.С., Лавров Е.Л., Чан Су Бу. Культуры каменного века Северной Японии. Новосибирск : Наука, 1982. 208 с.
5. Ветров В.М. Древнейшая керамика на Витиме. Некоторые вопросы датирования и периодизации в каменном веке Восточной Азии // Древние культуры Монголии и Байкальской Сибири: материалы междунар. науч. конф. Улан-Удэ : Изд-во Бурят. гос. ун-та, 2010. С. 37–44.
6. Ветров В.М. Резцы и нуклеусы усть-каренгской археологической культуры // Байкальская Сибирь в древности. Иркутск, 1995. С. 30–45.
7. Золотарев А.Г. Стратиграфия и условия накопления поздне-плиоцен-четвертичных отложений внутренней области Байкало-Патомского нагорья // Поздний плейстоцен и голоцен юга Восточной Сибири. Новосибирск : Наука, 1982. С. 35–57.
8. Инешин Е.М., Тетенькин А.В. Каменный и костяной инвентарь культурных горизонтов археологического местонахождения Большой Якорь I: сюжеты морфологической и функциональной характеристики // Известия Лаборатории древних технологий. Иркутск : Изд-во ИрГТУ, 2006. Вып. 4. С. 104–119.
9. Инешин Е.М., Тетенькин А.В. Проблемы изучения археологических памятников раннего голоцена на Нижнем Витиме // Социогенез в Северной Азии: Сб. науч. трудов / Под ред. А.В. Харинского. Иркутск : Изд-во ИрГТУ, 2005. Ч.1. С. 96–104.
10. Инешин Е.М., Тетенькин А.В. Человек и природная среда севера Байкальской Сибири в позднем плейстоцене. Местонахождение Большой Якорь I. Новосибирск : Наука, 2010. 270 с.
11. Козырев А.С., Щетников А.А., Клементьев А.М., Филинов И.А., Федоренко А.Б., Хензыхенова Ф.И. География и возраст ископаемых артефактов верхнего неоплейстоцена в Тункинской рифтовой долине // Известия ИГУ. Серия «Геоархеология, этнология, антропология». 2012. № 1 (1). С. 106–125.
12. Кононенко Н.А. Динамика освоения Юга Дальнего Востока России в конце плейстоцена // Российский Дальний Восток в древности и средневековье: открытия, проблемы, гипотезы. Владивосток : Дальнаука, 2005. С. 59–85.
13. Константинов М.В. Каменный век восточного региона Байкальской Азии. Улан-Удэ – Чита : Изд-во ИОН БНЦ СО РАН, 1994. 180 с.

14. Крупянок А.А., Табаров А.В. Новые результаты исследования стоянки Суворово III в контексте устиновской верхнепалеолитической индустрии // Древние культуры Монголии и Байкальской Сибири : материалы междунар. науч. конф. (Иркутск, 3–7 мая, 2011 г.) / под общ. ред. А.В. Харинского. Иркутск : Изд-во ИрГТУ, 2011. Вып. 2. С. 110–116.
15. Стратиграфия, палеогеография и археология юга Средней Сибири. Иркутск, 1990. 165 с.
16. Тищенко Е.И. Некоторые вопросы истории позднечетвертичного осадконакопления в пределах Байкало-Патомского нагорья // Поздний плейстоцен и голоцен юга Восточной Сибири. Новосибирск : Наука, 1982. С. 70–84.
17. Тетенькин А.В. Стоянка Коврижка III в археологии Нижнего Витима и Байкало-Патомского нагорья // Труды IV (XX) Всероссийского археологического съезда в Казани. Т. I. Казань : Отечество, 2014. С. 163–168.
18. Тетенькин А.В. Проблема определения археологической специфики Байкало-Патомского нагорья в конце плейстоцена – первой половине голоцена // Труды III (XIX) Всерос. археологического съезда. Т. I. СПб. М. Великий Новгород, 2011. С. 94–95.
19. Тетенькин А.В. Материалы исследования ансамбля археологических местонахождений Коврижка на Нижнем Витиме (1995–2009 гг.) // Известия Лаборатории древних технологий. Иркутск : Изд-во ИрГТУ, 2010. Вып. 8. С. 64–134.
20. Шмыгун П.Е. Докерамические комплексы из четвертичных отложений Северного Байкала // Рельеф и четвертичные отложения Станового нагорья. М. : Наука, 1981. С. 120–128.
21. Шмыгун П.Е. Микронуклеусы нижних горизонтов стоянок Курла II–III // Археология и этнография Восточной Сибири: Тез. докл. к регион. конф. Иркутск : Иркут. ун-т, 1978. С. 14–16.
22. Шмыгун П.Е., Ендрихинский А.С. Курлинской бескерамический комплекс на Северном Байкале: (предварит. сообщ.) // Древняя история народов юга Восточной Сибири. Иркутск : Иркут. ун-т, 1978. Вып. 4. С. 56–69.
23. Gladyshev S., Tabarev A., Olsen J.W. Origin and evolution of the Late Paleolithic Microindustry in Northern Mongolia // Current Research in the Pleistocene. 2010. № 27. P. 38–40.
24. Mochanov Y.A., Fedoseeva S.A. Chapter 3. Aldansk: Aldan River Valley, Sakha Republic // American Beginnings. The Prehistory and Palaeoecology of Beringia, Edited by West C.F. Chicago and London: The University of Chicago Press, 1996. P. 157–214.

Сведения об авторе

Тетенькин Алексей Владимирович, кандидат исторических наук, доцент, научный сотрудник Лаборатории археологии, палеоэкологии и систем жизнедеятельности народов Северной Азии ИрГТУ, Иркутский государственный технический университет, 664074, Россия, г. Иркутск, ул. Лермонтова, 83, тел.: +79086633571, e-mail: altet@list.ru

Teten'kin Aleksei Vladimirovich, PhD, associate professor, researcher of the Laboratory of Archaeology, Paleoecology and Subsistence of people of the Northern Asia (ISTU), Irkutsk State Technical University, 83 Lermontova St., Irkutsk, 664074, Russia, tel.: +79086633571, e-mail: altet@list.ru